

## تحلیل تجربی رفتار رچتینگ و نرم شوندگی پوسته های جدار نازک فولادی ضدزنگ تحت بارگذاری خمش خالص تناوبی SS304L

محمود شریعتی<sup>۱\*</sup>، کمال کلاسنگیانی<sup>۲</sup>، بهزاد جهانگیری<sup>۳</sup>، امین صابر<sup>۴</sup>

- ۱- استاد، مهندسی مکانیک، دانشگاه فردوسی مشهد، مشهد
  - ۲- دانشجوی دکترا، مهندسی مکانیک، دانشگاه فردوسی مشهد، مشهد
  - ۳- کارشناس ارشد، مهندسی مکانیک، دانشگاه صنعتی شهرورد، شهرورد
  - ۴- دانشجوی کارشناسی ارشد، مهندسی مکانیک، دانشگاه فردوسی مشهد، مشهد
- \* مشهد، صندوق پستی ۹۱۷۷۹۴۸۹۴۴

### چکیده

در این تحقیق به بررسی تجربی رفتار رچتینگ و نرم شوندگی پوسته های جدار نازک فولادی ضدزنگ SS304L تحت بارگذاری خمش خالص به صورت تناوبی پرداخته شده است. آزمایش های تجربی توسط دستگاه سرو هیدرولیک اینسترون 8802 تحت شرایط بارگذاری نیرو-کنترل و جابجایی-کنترل انجام شده است و تأثیر پارامترهای مختلف شامل نیروی میانگین، دامنه نیرو، طول پوسته های استوانه ای، وجود گشودگی و موقعیت آن بررسی شد. در بارگذاری جابجایی-کنترل، رفتار نرم شوندگی در پوسته ها مشاهده می شود و تحت بارگذاری نیرو-کنترل با نیروی میانگین غیر صفر انساشتگی کرنش پلاستیک یا پدیده رچتینگ اتفاق می افتد. براساس نتایج تجربی، رابطه خطی بین انرژی پلاستیک و نرخ تغییر شکل پلاستیک مشاهده شد که بیانگر صفتیکی رفتارهای مورد استفاده در آزمایش های تجربی است. مشاهده شد که افزایش دامنه نیرو باعث افزایش نیروی بیشینه و درنتیجه منجر به افزایش تغییر شکل پلاستیک می شود. همچنین در بررسی وجود گشودگی، پوسته استوانه ای دارای گشودگی در میانه، دارای جابجایی رچتینگ بیشتری در مقایسه با پوسته استوانه ای بدون گشودگی است و باعث رشد ترک از این نواحی می شود. در بارگذاری جابجایی-کنترل، پاسخ پوسته استوانه ای تحت بارگذاری خمش خالص تناوبی به چهار ناحیه رشد اولیه، کذر، پایدار و رشد ترک تقسیم می شود.

### اطلاعات مقاله

مقاله پژوهشی کامل
دریافت: ۲۲ بهمن ۱۳۹۴
پذیرش: ۲۵ اسفند ۱۳۹۴
ارائه در سایت: ۰۱ اردیبهشت ۱۳۹۵
کلید واژگان:
پوسته جدار نازک
بارگذاری خمش خالص تناوبی
رجتینگ
نرم شوندگی
گشودگی

## Experimental study on ratcheting and softening behavior of stainless steel 304L thin-walled shells under cyclic pure bending load

Mahmoud Shariati<sup>1\*</sup>, Kamal Kolasangiani<sup>1</sup>, Behzad Jahangiri<sup>2</sup>, Amin Saber<sup>1</sup>

1- Department of Mechanical Engineering, Ferdowsi University, Mashhad, Iran

2- Department of Mechanical Engineering, Shahrood University, Shahrood, Iran

\* P.O.B. 9177948944, Mashhad, Iran, mshariati44@um.ac.ir

### ARTICLE INFORMATION

Original Research Paper  
Received 11 February 2016  
Accepted 15 March 2016  
Available Online 20 April 2016

Keywords:  
Thin-walled shell  
Cyclic pure bending load  
Ratcheting  
Softening, Cutout

### ABSTRACT

In this research, softening and ratcheting behavior of SS304L thin-walled shells under cyclic pure bending load were investigated. Experimental tests were carried out by a servo-hydraulic INSTRON 8802 machine under force-control and displacement-control conditions and the effect of different parameters such as mean force, force amplitude, length of the shells existence and position of cutout were examined. Under displacement-control loading, softening behavior was observed and under force-control loading with non-zero mean force, accumulation of plastic deformation or ratcheting phenomena occurred. Based on experimental results, linear relation was observed between plastic energy and rate of plastic deformation, which shows the rigidity of fixtures used in the experimental tests. It was observed that increase of the force amplitude was accompanied by an increase in maximum force and plastic deformation. Also, analyzing the existence of cutout, ratcheting displacement of cylindrical shells with cutout in the middle of shell is higher than that of the shell without cutout and crack propagation occurred in this area. Under displacement-control loading, reaction of thin-walled shells under cyclic pure bending load is divided into four areas, incubation, transition, steady-state and crack propagation.

### -۱ مقدمه

امروزه پوسته ها بخش اعظمی از سازه های صنایع مختلف را به خود اختصاص داده اند. پوسته ها به دلیل وزن کم و مقاومت زیاد، کاربرد گسترده ای در صنایع دارند. از کاربردهای پوسته ها می توان در سازه های هوایی برای بدنه های هواییها، روکش بال و دم هواییما، بدنه های موشک اشاره کرد. استفاده از ورق ها و پوسته ها در صنایع دیگر نظیر خودرو سازی، شناور سازی، مخازن نفت

برای ارجاع به این مقاله از عبارت ذیل استفاده نمایید:

داخلی ثابت بررسی کردند و با رسم نمودار ممان- جابجایی مشاهده کردند که شیوه‌سازی کرنش رچتینگ با استفاده از مدل‌های چند ساختاری بهتر است [7].

یوشیدا و همکاران در سال 2010 ثابت کردند که حتی در دمای اتاق تعدادی از مواد از قبیل فولاد SS304L، خاصیت ویسکوژیته دارند و تغییر در نرخ تنش بر رچتینگ تأثیر می‌گذارند. یوشیدا تعدادی آزمایش یک محوره و چند محوره بر روی تداخل رچتینگ و خرش در دمای اتاق و دمای 65 سانتیگراد انجام داد و بر روی تأثیر نرخ تنش، زمان نگهداری قله تنش<sup>۱</sup> و نسبت تنش بر رچتینگ بحث کرد [14].

شریعتی و همکاران در سال 2010 روی نمونه‌های استاندارد پلی‌استال، بارگذاری محوری تناوبی انجام داده و تأثیر دامنه نیرو و نیروی متوسط را روی رفتار رچتینگ نمونه‌ها مورد بررسی قرار دادند. افزایش کرنش رچتینگ و نرخ کرنش رچتینگ با افزایش پارامترهای دامنه نیرو و نیروی متوسط از نتایج به دست آمده طی این مطالعه می‌باشد [15]. ژو و همکاران در سال 2012 به طور تجربی خواص کششی و کرنش رچتینگ را تحت بار خمشی بر روی میله فولادی Z2CND18.12 ببررسی کردند و به مطالعه رابطه بین مدول یانگ و دما پرداختند. انباشتگی کرنش غیرالاستیک در دما و بارگذاری‌های مختلف به طور آزمایشگاهی مشاهده شد. آن‌ها به این نتیجه رسیدند که تغییرات مدول یانگ به صورت خط با دما تغییر می‌کند و به تدریج با افزایش دما کاهش می‌یابد و کرنش رچتینگ به شدت به دما وابسته است [16].

شریعتی و حاتمی در سال 2012 به طور تجربی رفتار نرم‌شوندگی و رچتینگ پوسته‌های استوانه‌ای فولاد ضدزنگ SS304 را تحت بارگذاری محوری سیکلی در شرایط نیرو-کنترل و جابجایی کنترل مطالعه کردند. در بارگذاری نیرو-کنترل با نیروی میانگین غیر صفر، شاهد پدیده رچتینگ بودند و انباشتگی کرنش پلاستیک تا شکست پوسته ادامه یافت. آن‌ها مشاهده کردند که نرخ کرنش رچتینگ با افزایش نیروی دامنه، افزایش می‌یابد. در بارگذاری جابجایی-کنترل پوسته رفتار نرم‌شوندگی از خود نشان داد که به علت ایجاد کمانش در بارگذاری فشاری، نرم شوندگی شدت یافت [17].

شریعتی و همکاران به مطالعه رفتار رچتینگ و نرم‌شوندگی پوسته‌های استوانه‌ای به صورت یک سر گیردار تحت بارگذاری خمشی تناوبی در شرایط نیرو کنترل و جابجایی-کنترل پرداختند و تأثیر دامنه جابجایی، نیرو میانگین و تاریخچه بارگذاری بررسی شد. آن‌ها همچنین با ایجاد گشودگی دایروی در موقعیت‌های مختلف پوسته استوانه‌ای مشاهده کردند که در نمونه‌های دارای گشودگی در نقاط انتهایی، جایی که گشتاور خمشی دارای بیشترین مقدار است، انباشتگی تغییر شکل پلاستیک بیشتر است [18].

با توجه به کارهای گذشته‌گان که اکثرها به بررسی رفتار پوسته‌های استوانه‌ای تحت بارگذاری محوری و پیچشی یا خمش سه نقطه‌ای به صورت تناوبی پرداخته‌اند، در این پژوهش سعی می‌شود که فیکسچری جهت اعمال بارگذاری خمش خالص تناوبی بر پوسته‌های استوانه‌ای طراحی و ساخته شود تا بتوان رفتار رچتینگ آن‌ها را تحت این نوع بارگذاری بررسی کرد. در این مقاله، پوسته‌های جدار نازک تحت بارگذاری خمش خالص تناوبی قرار می‌گیرند و تأثیر نیروی میانگین، وجود گشودگی و طول تحت خمش بررسی

و گاز در صنایع پتروشیمی، خطوط لوله، مخازن نگهداری مایعات و سیلوهای انبار دانه‌های نباتات و غلات، مخازن تحت فشار، سرپوش‌ها یا کله‌گی‌ها، وغیره رایج است. این پوسته‌ها در طول عمر خود ممکن است تحت بارهای مختلف تناوبی قرار گیرند. اگرچه مقدار کرنش پلاستیک در یک سیکل بارگذاری کم می‌باشد، اما انباشتگی آن‌ها در یک جهت در طول بارگذاری، قابل ملاحظه است. این پدیده به عنوان پلاستیسیته سیکلی و یا رچتینگ شناخته شده است.

از آنجایی که رچتینگ یک انباشتگی تغییر شکل غیرالاستیک سیکل به سیکل می‌باشد، شیوه‌سازی و تعیین رفتار آن به طور دقیق امکان‌پذیر نخواهد بود و علاوه بر آن مدل‌های ساختاری سیکلی رچتینگ به دست آمده از نتایج آزمایشگاهی نیز قادر به تعیین دقیق رچتینگ نبودند. بنابراین در دو دهه گذشته، رچتینگ به شدت مورد مطالعه قرار گرفته است. از مشکلات مهمی که باعث می‌شود بارگذاری تناوبی روی پوسته‌های استوانه‌ای به ندرت مورد مطالعه تجربی قرار گیرد، ساخت فیکسچرهای مخصوص به آن‌ها می‌باشد.

به طور گسترده، بارگذاری خمشی بر روی پوسته‌های استوانه‌ای در کاربردهای مهندسی مشاهده می‌شود، بنابراین مطالعات آزمایشگاهی بر روی پوسته‌های استوانه‌ای تحت بارگذاری خمشی تناوبی انجام شده است [8-1]. مورتون و همکاران [9] به بررسی لوله‌های فولادی ضدزنگ و لوله‌های فولادی نرم دارای فشار داخلی با گشتاور خمشی سیکلی متقاضی پرداختند و مشاهده کردند که انباشتگی کرنش پلاستیک نمونه‌های فولادی نرم بیشتر از نمونه‌های فولادی ضدزنگ می‌باشد.

گاؤ و همکاران [10] با استفاده از فیکسچر خمش شبه سه نقطه‌ای به مطالعه تجربی انباشتگی کرنش پلاستیک فولادهای کربنی پرداختند و مشاهده کردند که در آزمایش خمش چند مرحله‌ای، نرخ انباشتگی کرنش با افزایش مقدار بار، افزایش می‌یابد اما با اعمال مقدار بار کم پس از بارگذاری با بار زیاد، نرخ انباشتگی کرنش کاهش و یا حتی از بین می‌رود. یانگ در سال 2005 به بررسی رفتار خستگی کم‌تکرار و رچتینگ فولاد کنترل با و بدون کرنش میانگین به منظور بررسی اثر کرنش میانگین بر عمر خستگی انجام شده است. همچنین او براساس نتایج آزمایش‌های کرنش-کنترل، معادلاتی برای پیش‌بینی عمر خستگی به دست آورد و از آن‌ها برای پیش‌بینی آسیب خستگی در شکست رچتینگ استفاده کرد [11].

چنا و همکاران در سال 2005 عملکرد چهار مدل ساختاری را در پاسخ رچتینگ فولاد Ck45 برای بارگذاری محوری/پیچشی بررسی کردند. مشاهده شد که مدل اهنو-وانگ در بارگذاری چند محوره، رچتینگ را بیشتر از مقدار واقعی پیش‌بینی می‌کند. در حالی که مدل جیانگ-سهیتوگلو پیش‌بینی خوبی برای بارگذاری چند محوره محوری/پیچشی با انتخاب ترم بازگشتی دینامیکی ارائه داد [12].

کانگ و همکارانش در سال 2006 به بررسی تأثیرات رچتینگ و خستگی فولاد ضدزنگ SS304 در بارگذاری تکمحوره تحت شرایط نیرو-کنترل و در دمای اتاق پرداختند. اثرات تنش میانگین، دامنه تنش و نسبت تنش حداقل بر کرنش رچتینگ و عمر نمونه‌ها در این مطالعه مورد بحث قرار گرفته است. آن‌ها مشاهده کردند که کرنش رچتینگ و عمر خستگی این ماده واستگی زیادی به تنش میانگین، دامنه تنش و نسبت تنش دارد [13]. سید و همکاران در سال 2008، به طور تجربی رفتار کرنش رچتینگ شعاعی و محیطی یک لوله فولادی مستقیم را تحت بارگذاری خمشی و فشار

<sup>۱</sup> Peak stress hold time

$$\alpha_y = \alpha_z = -\frac{1}{2}\alpha_x \quad (5)$$

با توجه به روابط (1) و (5) و [20]:

$$\left| \sigma_x - \frac{3}{2}\alpha_x \right| = \sigma_0 \quad (6)$$

پس [20]:

$$\begin{aligned} \sigma_x &= \sigma_0 + \left[ \frac{\beta}{\gamma} + \frac{3}{2} \left( \alpha_{x0} - \frac{2\beta}{3\gamma} \right) \exp[-\gamma(\varepsilon_x^P - \varepsilon_{x0}^P)] \right], \quad d\varepsilon_x^P \geq 0 \\ \sigma_x &= -\sigma_0 + \left[ \frac{\beta}{\gamma} - \frac{3}{2} \left( \alpha_{x0} + \frac{2\beta}{3\gamma} \right) \exp[\gamma(\varepsilon_x^P - \varepsilon_{x0}^P)] \right], \quad d\varepsilon_x^P < 0 \end{aligned} \quad (7)$$

تنشی‌های ابتدایی و انتهایی در حالت بارگذاری به ترتیب برابر  $\sigma_m - \sigma_a$  (اختلاف تنش میانگین و دامنه) و  $\sigma_m + \sigma_a$  (مجموع تنش میانگین و دامنه) است و در حالت باربرداری، تنش‌های ابتدایی و انتهایی به ترتیب  $\sigma_m + \sigma_a$  و  $\sigma_m - \sigma_a$  می‌باشند و در این شرایط و با استفاده از رابطه (7)، کرنش‌های ابتدایی در حالت بارگذاری ( $\varepsilon_1$ ) و باربرداری ( $\varepsilon_2$ ) و کرنش‌های انتهایی در حالت بارگذاری ( $\varepsilon_3$ ) و باربرداری ( $\varepsilon_4$ ) طبق روابط (8) و (9) می‌باشند. بیشترین کرنش در حالت بارگذاری و با تنش  $\sigma_m + \sigma_a$  رخ می‌دهد. در لحظه‌ی بارگذاری کرنش‌های ابتدایی و انتهایی به صورت رابطه (8) می‌باشد.

$$\begin{aligned} \varepsilon_1 &= \varepsilon_{x0}^P - \frac{1}{\gamma} \ln \left( \frac{\sigma_m - \sigma_a - \sigma_0 - \frac{\beta}{\gamma}}{\frac{3}{2} \left( \alpha_{x0} - \frac{2\beta}{3\gamma} \right)} \right) \\ \varepsilon_2 &= \varepsilon_{x0}^P - \frac{1}{\gamma} \ln \left( \frac{\sigma_m + \sigma_a - \sigma_0 - \frac{\beta}{\gamma}}{\frac{3}{2} \left( \alpha_{x0} + \frac{2\beta}{3\gamma} \right)} \right) \end{aligned} \quad (8)$$

و در لحظه‌ی باربرداری نیز کرنش‌های ابتدایی و انتهایی به صورت رابطه (9) می‌باشد:

$$\begin{aligned} \varepsilon_3 &= \varepsilon_{x0}^P + \frac{1}{\gamma} \ln \left( \frac{\sigma_m + \sigma_a + \sigma_0 - \frac{\beta}{\gamma}}{-\frac{3}{2} \left( \alpha_{x0} + \frac{2\beta}{3\gamma} \right)} \right) \\ \varepsilon_4 &= \varepsilon_{x0}^P + \frac{1}{\gamma} \ln \left( \frac{\sigma_m - \sigma_a + \sigma_0 - \frac{\beta}{\gamma}}{-\frac{3}{2} \left( \alpha_{x0} + \frac{2\beta}{3\gamma} \right)} \right) \end{aligned} \quad (9)$$

و در لحظه‌ی بارگذاری نیز کرنش‌های ابتدایی و انتهایی به صورت رابطه (10) محاسبه می‌شود:

$$\begin{aligned} w_p &= \oint_{cycle} \sigma_{ij} d\varepsilon_{ij}^P \\ &= \int_{\sigma_m - \sigma_a}^{\sigma_m + \sigma_a} (\sigma_x)_{Loading} d\varepsilon_x^P \\ &\quad + \int_{\sigma_m + \sigma_a}^{\sigma_m - \sigma_a} (\sigma_x)_{Unloading} d\varepsilon_x^P \\ &= -\frac{1}{\gamma} \left[ 2\sigma_a + \left( \sigma_0 + \frac{\beta}{\gamma} \right) \left[ \ln \left( \sigma_m + \sigma_a - \sigma_0 - \frac{\beta}{\gamma} \right) \right. \right. \\ &\quad \left. \left. - \ln \left( \sigma_m - \sigma_a - \sigma_0 - \frac{\beta}{\gamma} \right) \right] \right] \\ &\quad + \frac{1}{\gamma} \left[ -2\sigma_a + \left( -\sigma_0 + \frac{\beta}{\gamma} \right) \left[ \ln \left( \sigma_m - \sigma_a + \sigma_0 - \frac{\beta}{\gamma} \right) \right. \right. \\ &\quad \left. \left. - \ln \left( \sigma_m + \sigma_a + \sigma_0 - \frac{\beta}{\gamma} \right) \right] \right] \\ &= -\frac{4\sigma_a}{\gamma} + \left( \sigma_0 + \frac{\beta}{\gamma} \right) [(\varepsilon_2 - \varepsilon_{x0}^P) - (\varepsilon_1 - \varepsilon_{x0}^P)] \\ &\quad + \left( -\sigma_0 + \frac{\beta}{\gamma} \right) [(\varepsilon_4 - \varepsilon_{x0}^P) - (\varepsilon_3 - \varepsilon_{x0}^P)] \end{aligned} \quad (10)$$

می‌شود. مشاهده می‌شود که با افزایش طول پوسته استوانه‌ای به دلیل افزایش گشتاور خمشی، جابجایی رچتینگ و نرخ آن افزایش می‌یابد.

## 2- انرژی و رابطه آن با نرخ تغییر شکل موسمان

انرژی به عنوان یکتابع با مقدار اسکالار و مستقل از جهت، قابل مقایسه برای بارگذاری مختلف مرکب سیکلی و بارگذاری عمودی سیکلی برای طول‌های مختلف می‌باشد. انرژی پلاستیک و انرژی کل (مجموع انرژی کرنشی پلاستیک و انرژی کرنشی الاستیک) با افزایش تعداد سیکل به مقدار پایداری می‌رسند و از این جهت به عنوان پارامترهای مناسب برای بررسی رفتار رچتینگ می‌باشند. در این قسمت انرژی پلاستیک و انرژی الاستیک در حلقه‌ی هیسترزیس نشان داده شده است. پوسته استوانه‌ای تحت نیروی میانگین بزرگ‌تر دارای انرژی پلاستیک بزرگ‌تر است و این به دلیل وجود گشتاور خمشی بزرگ‌تر در مقاطع مختلف طول موثر پوسته است. اکثر مواد در اثر بارگذاری سیکلی تا یک تعداد مشخص از سیکل دچار سخت‌شوندگی و یا نرم شوندگی می‌شوند؛ سپس به حالت پایدار<sup>1</sup> می‌رسند و یا تغییر اندازه‌ی سطح تسیلیم متوقف می‌شود. با این حال رچتینگ همچنان بعد از پایداری سیکلی مواد ادامه می‌یابد. از این‌رو می‌توان سخت‌شوندگی سینماتیک را به عنوان اصلی‌ترین دلیل وقوع رچتینگ دانست. به عبارت دیگر دخالت دادن سخت‌شوندگی ایزوتروپیک ضروری به نظر نمی‌رسد [19].

همه‌ی مدل‌های سخت‌شوندگی دارای یک مشخصه مشترک می‌باشند و آن این است که براساس معیار تسیلیم ون مایزز و مدل سخت‌شوندگی سینماتیک بنناهاد شده‌اند. معیار تسیلیم ون مایزز به صورت رابطه (1) تعریف می‌شود [20].

$$f(\sigma - \alpha) = \sqrt{(s - \alpha)(s - \alpha)} - k = 0 \quad (1)$$

در این رابطه  $s$  تانسور تنش انحرافی،  $\alpha$  تانسور پیش تنش انحرافی (نشان دهنده‌ی مرکز سطح تسیلیم) و  $k = \sqrt{\frac{2}{3}}\sigma_0$ ، اندازه سطح تسیلیم است که در مدل سخت‌شوندگی ثابت است.

مدل سخت‌شوندگی آرمستانگ-فریدریش<sup>2</sup>، به عنوان یکی از مدل‌های اولیه با اضافه کردن یک ترم، مورد استفاده محققین بسیاری قرار گرفته است و به صورت رابطه (2) می‌باشد [20].

$$d\alpha = \frac{2}{3}\beta d\varepsilon^P - \gamma\alpha \sqrt{\frac{2}{3}d\varepsilon^P d\varepsilon^P} \quad (2)$$

مدل سخت‌شوندگی AF برای بارگذاری تکمحوره به فرم رابطه (3) هست [20].

$$d\alpha_x = \frac{2}{3}\beta d\varepsilon_x^P - \gamma\alpha |d\varepsilon_x^P| \quad (3)$$

با حل رابطه (3) برای شرایط بارگذاری و باربرداری رابطه (4) استخراج می‌شود [20].

$$\begin{cases} \alpha_x = \frac{2\beta}{3\gamma} + \left( \alpha_{x0} - \frac{2\beta}{3\gamma} \right) \exp[-\gamma(\varepsilon_x^P - \varepsilon_{x0}^P)], & d\varepsilon_x^P \geq 0 \\ \alpha_x = -\frac{2\beta}{3\gamma} + \left( \alpha_{x0} + \frac{2\beta}{3\gamma} \right) \exp[\gamma(\varepsilon_x^P - \varepsilon_{x0}^P)], & d\varepsilon_x^P < 0 \end{cases} \quad (4)$$

همچنین [20]:

<sup>1</sup> Stabilize  
<sup>2</sup> Armstrong-Frederick

تنش-کرنش بدست آمده از آزمایش کشش استاندارد در شکل ۳ برای فولاد SS304 نشان داده شده است.

### 3-3- بارگذاری و شرایط مرزی

در این پژوهش رفتار پوسته‌های فولادی تحت بارگذاری خمشی بررسی می‌شود. بارگذاری‌ها به صورت سیکلی و تحت شرایط نیرو-کنترل و جابه‌جاوی کنترل به نمونه‌ها اعمال می‌شود. در این تحقیق، میانگین بیشترین و کمترین جابه‌جاوی عمودی نقطه اعمال بار در هر سیکل به عنوان جابه‌جاوی رچتینگ تعریف می‌شود و به منظور بی‌بعد کردن، پارامتر  $X_r$  به عنوان نسبت جابه‌جاوی رچتینگ به طول مؤثر آن تعیین می‌شود.

برای اعمال بارگذاری خمشی، فیکسچر موردنظر طراحی شده است. جهت ثابت نگهداشتن پوسته‌ها در داخل فیکسچر، از قرقره‌های تلفون تراش کاری شده به دو صورت اینجا جهت لوله‌ها و پلهای جهت قوطی‌ها استفاده شده است. در لبه فک‌ها پیچ‌های قابل تنظیمی طراحی شده است که پوسته‌ها با هر قطری درون آن ثابت گردد. دو فک بالایی قابلیت حرکت به صورت ریلی در طول‌های مؤثر 280mm، 650mm و 280mm را دارد. بار تناوبی از طریق فک پایین مطابق شکل ۴ به ابتدای پوسته اعمال می‌گردد. در این شکل پوسته‌ی استوانه‌ای با طول 280mm نشان داده شده است که به صورت متقارن با استفاده از فیکسچرهای طراحی شده به دستگاه اینسترون متصصل می‌شوند. با برش پوسته در طول‌های مختلف، نیروی محوری، برشی و گشتاور خمشی به صورت تناوبی مقطع ایجاد می‌شود که به دلیل ضخامت کم پوسته‌ها از اثر نیروی برشی صرف نظر می‌شود.

### 4- نتایج و بحث

#### 4-1- بارگذاری نیرو-کنترل

4-1-4- تأثیر نیروی میانگین بر رفتار رچتینگ پوسته‌های استوانه‌ای در این قسمت پوسته‌های استوانه‌ای با طول مؤثر 280mm تحت بارگذاری خمشی تناوبی با شرایط نیرو-کنترل قرار می‌گیرند. در این شرایط انباستگی تغییر شکل پلاستیک یا پدیده رچتینگ مشاهده شد. در شکل ۵ نمودار

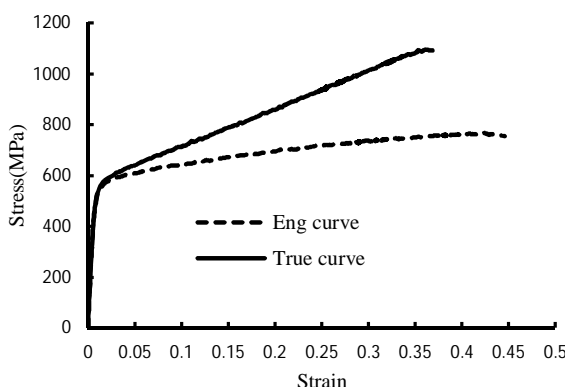


Fig.3 stress-strain curve for SS304

شکل ۳ نمودار تنش کرنش برای فولاد SS304

جدول ۱ خواص مکانیکی نمونه‌های مورد آزمایش

Table 1 Mechanical property of specimens

(MPa)	مدول یانگ (MPa)	تنش نهایی (MPa)	تنش تسلیم (MPa)
204		768	510

با مقایسه‌ی روابط (8)، (9) و (10)، نتیجه می‌شود که انرژی کرنشی پلاستیک با نمو بیشترین کرنش در هر سیکل، رابطه‌ی خطی دارد. یا به عبارت دیگر انرژی پلاستیک با تغییر طول نمونه در هر سیکل به صورت خطی تغییر می‌کند. با توجه به این که در این تحقیق هدف بررسی رفتار رچتینگ پوسته‌های است، بنابراین باید از صلبیت فیکسچر مورد استفاده اطمینان حاصل کرد. وجود رابطه خطی (10) در نتایج، بیانگر صلبیت فیکسچر و کاهش خطای پاشد.

### 3- مواد و روش‌ها

#### 3-1-3- دستگاه آزمایش

آزمایش‌های انجام گرفته در این مطالعه با استفاده از دستگاه سروهیدرولیک اینسترون 8802 انجام شده است که توانایی اعمال بار دینامیکی تا مقدار ظرفیت 250 کیلونیوتون را دارد (شکل ۱). همچنین برای نمونه‌های مورد آزمایش، فیکسچر مناسب جهت اعمال گشتاور خمشی طراحی شده است که در شکل ۲ نشان داده شده است. برای بدست آوردن جابه‌جاوی با دقت بالاتر در آزمایش کشش استاندارد، از طول سنج نیز استفاده شده است.

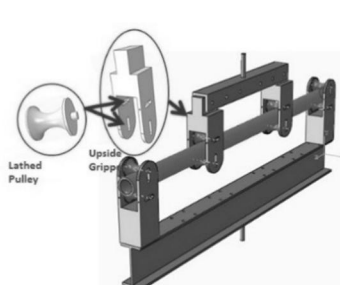
#### 3-2- هندسه و خواص مکانیکی

در این تحقیق پوسته استوانه‌ای با قطر 25 و 32 میلی‌متر و پوسته مربعی با طول ضلع 20 میلی‌متر و پوسته مستطیلی با ابعاد 20 و 40 میلی‌متر در نظر گرفته شده است. ضخامت همه پوسته‌ها 1.1 میلی‌متر است. جنس تمامی نمونه‌ها از فولاد SS304 می‌باشد که خواص مکانیکی آن در جدول ۱ نشان داده شده است. طول مؤثر در این آزمایش در دو حالت 280 میلی‌متر و 650 میلی‌متر مورد بررسی قرار گرفته شده است.

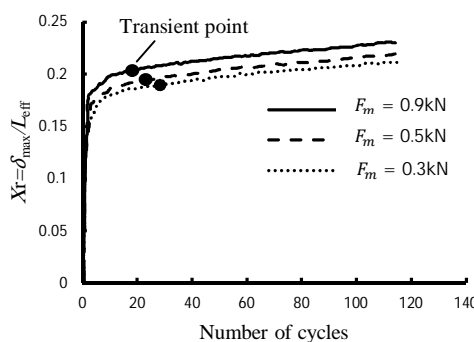
جهت به دست آوردن خواص مکانیکی پوسته فولادی، از آزمایش کشش استاندارد بر طبق استاندارد ASTM-E8 [21] استفاده شده است. منحنی



شکل ۱ دستگاه آزمایش به همراه فیکسچر نصب شده به آن



شکل ۲ فیکسچر طراحی شده جهت اعمال خمش خالص



**Fig.6** جابه جایی رچتینگ پوسته بر حسب تعداد سیکل برای پوسته های استوانه های میانگین  $F_m$  مختلف و دامنه نیروی ۱.۴kN تحت خمش خالص

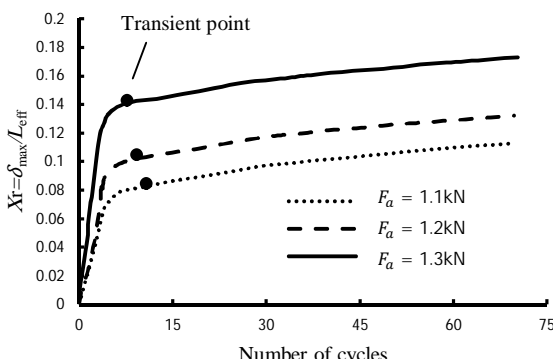
شکل ۶ جابه جایی رچتینگ پوسته بر حسب تعداد سیکل برای پوسته های استوانه های با نیروی میانگین  $F_m$  مختلف و دامنه نیروی ۱.۴kN تحت خمش خالص

میانگین ۰.۱kN و دامنه نیرو ۱.۲kN و ۱.۳kN قرار گرفت. بدلیل بارگذاری نیرو-کنترل نامتقارن (نیروی میانگین غیرصرف) رفتار رچتینگ در پوسته های استوانه ای ایجاد شده است. با توجه به شکل ۷ با افزایش دامنه نیرو، جابه جایی رچتینگ افزایش می یابد. در این شرایط بارگذاری، افزایش دامنه نیرو موجب افزایش نیروی بیشینه می شود و باعث تغییر شکل های پلاستیک بزرگ تر می شود و در نتیجه ابانتگی کرنش نیز افزایش می یابد. این پدیده به ناجایی زیرساخت های ماده در طول بارگذاری سیکلی مربوط می شود [23]. به دلیل بارگذاری غیرمتقارن با تنفس میانگین مثبت، ناجایی های ایجاد شده در هر سیکل در طی بارگذاری بیشتر از باربرداری می باشند در نتیجه مقداری از ناجایی از بین رفته و بقیه آن به عنوان پسماند در زیر ساخت های ماده باقی میماند. افزایش چگالی ناجایی با افزایش کرنش پلاستیک همراه است. بنابراین با افزایش دامنه نیرو برای یک نیروی میانگین ثابت، به دلیل افزایش چگالی ناجایی های باقی مانده، ابانتگی تغییر شکل پلاستیک کلی، افزایش می یابد.

همچنین افزایش دامنه نیرو باعث می شود که ابانتگی تغییر شکل پلاستیک با نرخ ثابت، سریع تر اتفاق بیافتد که محل نقاط گذار در نمودار شکل ۷ بر این امر صحه می گذارد.

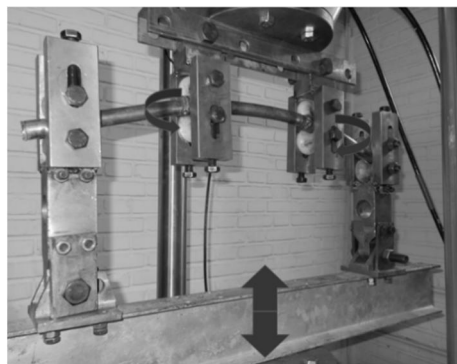
### 3-1-4- اشباع جابه جایی رچتینگ

در شکل ۸ تغییرات نرخ رچتینگ با افزایش تعداد سیکل برای پوسته های



**Fig.7** جابه جایی رچتینگ بر حسب تعداد سیکل در نیروی میانگین ۰.۱kN و دامنه نیروهای  $F_a$  مختلف

شکل ۷ جابه جایی رچتینگ بر حسب تعداد سیکل در نیروی میانگین ۰.۱kN و



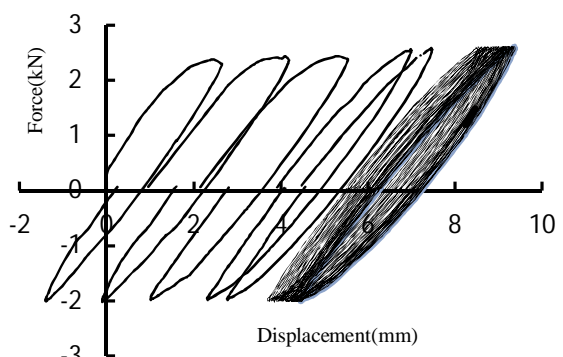
**Fig.4** نحوه تبدیل بار کششی فشاری به بار خمش خالص توسط فیکسچر

حلقه های هیسترزیس نیرو-جابه جایی نشان داده شده است. آزمایش های نیرو-کنترل در ۱۲۰ سیکل انجام شد و در شکل ۶ نسبت جابه جایی رچتینگ به طول مؤثر پوسته بر حسب تعداد سیکل برای سه نیروی میانگین تحت دامنه نیروی ۱.۴kN نشان داده شده است. مشاهده می شود برای نیروی میانگین ثابت با افزایش تعداد سیکل، جابه جایی رچتینگ افزایش و نرخ رچتینگ کاهش می یابد که این رفتار رچتینگ در حرکت حلقه های هیسترزیس در شکل ۶ نیز مشاهده شد. همچنین با افزایش نیروی میانگین در دامنه ثابت، به دلیل افزایش گشتاور خمی اعمالی، جابه جایی رچتینگ و نرخ آن افزایش می یابد. با افزایش نیروی میانگین، نیروی بیشینه و گشتاور خمی ایجاد شده در لوله و در نتیجه تنفس های نرمال افزایش می یابند. با تغییر نیروی بیشینه، چگالی ناجایی های زیرساخت های ماده افزایش یافته که با افزایش کرنش پلاستیک همراه است.

نقطه گذر<sup>۱</sup> به عنوان نقطه ای که بین ناحیه با نرخ جابه جایی رچتینگ زیاد و ناحیه با نرخ جابه جایی رچتینگ ثابت قرار دارد، تعریف می شود تا رچتینگ گذرا<sup>۲</sup> و رچتینگ پیوسته<sup>۳</sup> را متمازی کند [22].

مشاهده می شود که با افزایش نیروی میانگین نقطه گذر در تعداد سیکل های کمتری اتفاق می افتد و به عبارت دیگر نیروی میانگین بزرگ تر باعث تسريع در پایداری حلقه های هیسترزیس می شود.

**4-1-4- تأثیر دامنه نیرو بر رفتار رچتینگ پوسته های استوانه ای**  
در این قسمت هر یک از پوسته های استوانه ای تحت بارگذاری نیروی



**Fig.5** نمودار حلقه های هیسترزیس نیرو- جابه جایی

شکل ۵ نمودار حلقه های هیسترزیس نیرو- جابه جایی

<sup>1</sup> Transient point

<sup>2</sup> Transient ratcheting

<sup>3</sup> Continuous ratcheting

می شود، درنتیجه کرنش های پلاستیک بزرگ تری در اطراف گشودگی مشاهده می شود و اطراف گشودگی به عنوان محل بحرانی در این پوسته ها می باشد و این امر باعث رشد ترک می گردد، که این ترک در سیکل 24 اتفاق می بندد.

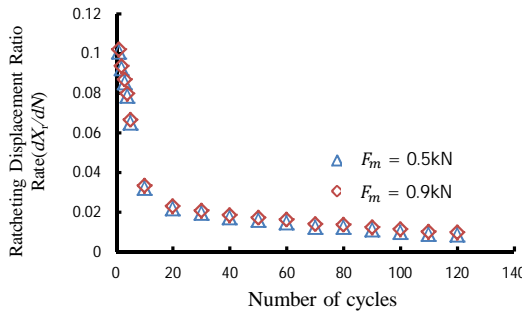


Fig.8 Ratcheting displacement rate vs. number of cycles for cylindrical shells under pure bending with different mean forces

شکل 8 نرخ جابه جایی رچتینگ بر حسب تعداد سیکل برای پوسته های استوانه ای تحت خمش خالص به ازای نیروهای میانگین  $F_m$  مختلف

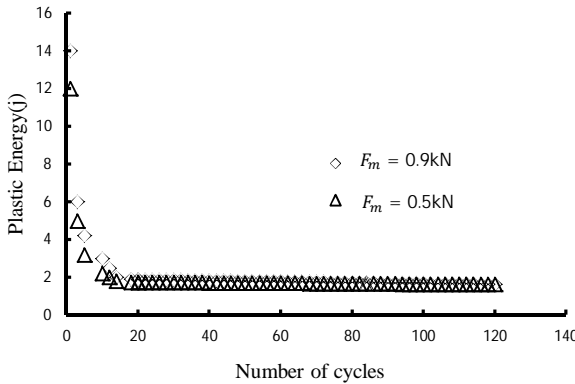


Fig.9 Plastic energy vs. number of cycles for cylindrical shells with different mean forces and force amplitude 1.4kN under pure bending

شکل 9 انرژی پلاستیک بر حسب تعداد سیکل برای پوسته های استوانه ای با نیروی میانگین  $F_m$  مختلف و دامنه نیروی  $1.4kN$  تحت خمش خالص

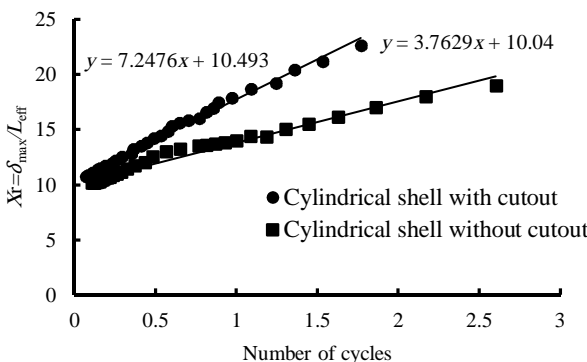


Fig.10 Plastic energy vs. ratcheting displacement rate

شکل 10 انرژی پلاستیک بر حسب نرخ جابه جایی رچتینگ



شکل 11 گشودگی دایره ای در مرکز پوسته استوانه ای

استوانه ای با دامنه نیروی  $1.4kN$  و نیروهای میانگین  $0.5$  و  $0.9kN$  نشان داده شده است. نتایج نشان می دهند که نرخ جابه جایی رچتینگ برای هر دو نیرو با افزایش تعداد سیکل کاهش می یابد. کاهش نرخ جابه جایی رچتینگ و میل کردن آن به صفر یا به عبارت دیگر توقف انباستگی تغییر شکل پلاستیک و پدیده رچتینگ، به دلیل شکل گیری و گستردگی نابجایی ها با تغییر شکل های سیکلی است. وقتی که مدادهای تحت تعییر شکل های سیکلی است، نابجایی هایی در نتیجه سخت شوندگی کرنشی تولید می شوند. این نابجایی ها، ابتدا به حالت آشفته قرار گرفته اند و سپس با افزایش تعداد سیکل، به شکل المان های نابجایی منظم درمی آیند. پس از تعداد سیکل معین (بستگی به کرنش های سیکلی اعمالی دارد)، نابجایی های تولید شده جدید، شکل بندی پایدار و منظمی به خود می گیرند و این تغییر شکل موجب کاهش و صفر شدن نرخ جابه جایی رچتینگ می شود [23].

#### 4-4- انرژی پلاستیک و رابطه آن با نرخ جابه جایی رچتینگ

در شکل 9 انرژی پلاستیک برای پوسته های استوانه ای با دامنه نیروی  $1.4kN$  و نیروهای میانگین  $0.5$  و  $0.9kN$  رسم شده است. مشاهده می شود که در سیکل های اولیه با افزایش تعداد سیکل، انرژی پلاستیک به شدت کاهش می یابد و در ادامه به مقدار ثابتی می رسد که این بیانگر پایداری حلقه های هیسترزیس و یا به عبارت دیگر پدیده شیک دان است که این رفتار همان طور که در بخش قبل گفته شد به دلیل شکل گیری نابجایی ها از حالت نامنظم به منظم می باشد. در شکل 10 رابطه خطی بین تغییرات انرژی پلاستیک بر حسب نرخ جابه جایی رچتینگ برای دو نمونه با گشودگی و بدون گشودگی رسم شده است که با رابطه (10) مطابقت دارد و در هر دو نمونه گشودگی رسم شده است که تنها در شب خط بین حالت با گشودگی و بدون گشودگی تفاوت دارند که مشاهده می شود پوسته استوانه ای با گشودگی دارای شبیب بیشتری است که به ازای افت نرخ معین جابه جایی رچتینگ، کاهش در انرژی کرنش آن بیشتر است و این نشان دهنده حساسیت وجود گشودگی در پوسته های استوانه ای تحت بارگذاری خمش خالص تناوبی است. همچنین با توجه به رابطه (10) می توان نتیجه گرفت که فیکسچر های مورد استفاده در این آزمایش، تا حد قابل قبولی صلب می باشند و تغییر شکل های قابل ملاحظه ای که باعث ایجاد خطا در نتایج می شود، وجود ندارد.

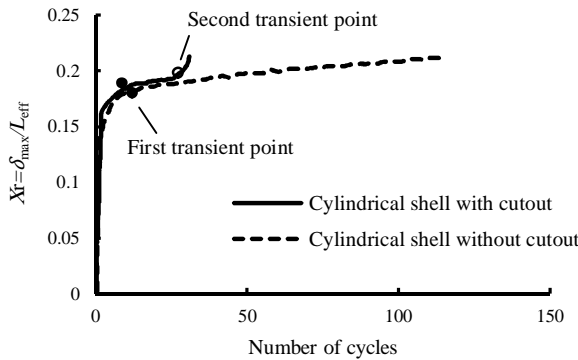
#### 4-5- تأثیر وجود گشودگی و موقعیت آن بر رفتار رچتینگ پوسته های استوانه ای تحت گشتاور خمشی خالص

در این قسمت ابتدا یک پوسته استوانه ای تحت نیرو میانگین  $0.3kN$  و بار دامنه  $1.4kN$  تحت گشتاور خمشی قرار گرفته است. یک گشودگی دایروی به قطر  $10mm$  در میانه پوسته استوانه ای مطابق شکل 11 ایجاد شده است. همان طور که در شکل 12 مشاهده می شود به دلیل نیروی اعمالی که باعث باز و بسته شدن گشودگی می گردد نمونه از محل گشودگی دچار شکست می شود. در شکل 13 مشاهده می شود که با افزایش تعداد سیکل، جابه جایی رچتینگ برای پوسته استوانه ای با گشودگی دایروی در میانه آن، افزایش می یابد و جابه جایی رچتینگ برای پوسته استوانه ای با گشودگی دایروی بیشتر از پوسته های استوانه ای بدون گشودگی است.

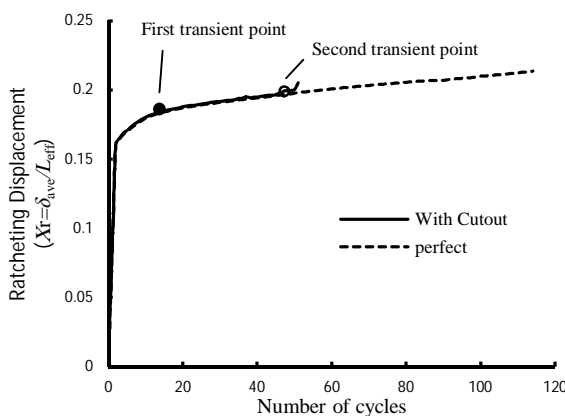
گشتاور خمشی در مقاطع شامل گشودگی در جهت باز شدن آن عمل می کند و گشودگی دایروی با افزایش تعداد سیکل، تبدیل به شکل بیضوی می شود. از آنجایی که ایجاد گشودگی باعث تمرکز تنش در اطراف گشودگی

<sup>1</sup> Shakedown

نتایج نشان می دهند که جابه جایی رچتینگ و نرخ آن برای پوسته های استوانه ای با قطر 25mm بیشتر از پوسته های استوانه ای با قطر 32mm است که این به دلیل کاهش ممان اینرسی و در نتیجه افزایش تنش های عمودی ناشی

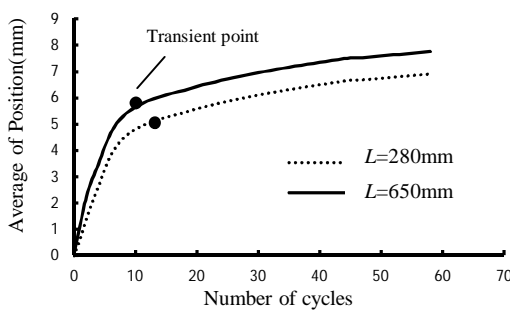


**Fig.13** جابه جایی رچتینگ بر حسب تعداد سیکل برای پوسته های استوانه ای با نیرو میانگین 0.3kN و دامنه نیرو 1.4kN با و بدون گشودگی دایروی تحت خمش خالص



**Fig.14** جابه جایی رچتینگ بر حسب تعداد سیکل برای پوسته های استوانه ای با نیرو میانگین 0.3kN و دامنه نیرو 1.4kN با گشودگی در محل یک چهارم طول مؤثر خمش و بدون گشودگی دایروی تحت خمش خالص

شکل 14 جابه جایی رچتینگ بر حسب تعداد سیکل برای پوسته های استوانه ای با نیرو میانگین 0.3kN و دامنه نیرو 1.4kN با گشودگی در محل یک چهارم طول تحت خمش و بدون گشودگی دایروی تحت خمش خالص



**Fig.15** جابه جایی رچتینگ بر حسب تعداد سیکل برای پوسته های استوانه ای با نیرو میانگین 0.3kN و دامنه نیرو 1.4kN با طول های 280mm و 650mm تحت خمش خالص

شکل 15 جابه جایی رچتینگ بر حسب تعداد سیکل برای پوسته های استوانه ای با نیرو میانگین 0.3kN و دامنه نیرو 1.4kN با طول های 650mm و 280mm تحت خمش خالص



**Fig.12** شکسته شدن نمونه از محل گشودگی

شکل 12 شکسته شدن نمونه از محل گشودگی

افتاد.

همچنین یک گشودگی در پوسته های استوانه ای در یک چهارم طول مؤثر تحت خمش ایجاد شده است. این پوسته تحت نیروی میانگین 0.3kN و دامنه 1.4kN قرار گرفته است. مطابق حالت قبل، اعمال بار باعث باز و بسته شدن گشودگی می گردد. در این حالت هم در میانه پوسته و هم در محل گشودگی ابشارتگی کرنش صورت می گیرد که این امر سبب می گردد به حالت قبل، رشد ترک دیرتر یعنی در سیکل 50 اتفاق افتد شکل 14. لازم به ذکر است زمانی که گشودگی در مرکز قرار دارد، گشتاور خمش و تمرکز تنش ناشی از گشودگی در میانه بیشترین می باشد؛ که باعث رشد ترک می گردد و در نهایت شکست پوسته در وسط و سریع تر به وقوع می پیوندد. همچنین برای پوسته های استوانه ای با گشودگی نرخ جابه جایی رچتینگ ابتدا کاهش و سپس افزایش می یابد و با توجه به شکل 13 و 14 می توان دو نقطه گذر، به عنوان نقطه گذر اول و نقطه گذر دوم تعریف کرد که سه ناحیه را از هم جدا می کند [18].

#### 4-1-4- تأثیر طول تحت خمش در پوسته های استوانه ای بر رفتار رچتینگ آن ها تحت بارگذاری نیرو خالص

در این قسمت پوسته های استوانه ای با طول های میانی 650mm و 280mm تحت بارگذاری خمشی قرار گرفته اند. نیرو میانگین 0.3kN و دامنه بار 1.4kN به دو نمونه اعمال شد. در شکل 15 جابه جایی رچتینگ برای دو طول نشان داده شده است. مشاهده می شود که با افزایش طول پوسته های استوانه ای تحت خمش، جابه جایی رچتینگ و نرخ آن افزایش می یابد و نقطه گذر سریع تر اتفاق می افتد. این تغییر به دلیل افزایش گشتاور خمشی و افزایش تنش های عمودی در مقاطع مختلف پوسته استوانه ای ناشی از بزرگ شدن بازوی اعمال نیرو می باشد که باعث ایجاد تغییر شکل های پلاستیک بزرگ تر در نمونه می شود.

#### 4-1-7- تأثیر قطر در پوسته های استوانه ای بر رفتار رچتینگ آن ها تحت بارگذاری خمش خالص

در شکل 16 تغییرات جابه جایی رچتینگ با افزایش تعداد سیکل برای پوسته های استوانه ای با قطر های 25mm و 32mm نشان داده است.

بیشتر است که این به دلیل اختلاف ممان اینرسی سطح دایروی، مربعی و مستطیلی می‌باشد که کاهش ممان اینرسی سطح با افزایش تنش نرمال ناشی از گشتاور خمشی خالص و در نتیجه افزایش نرم‌شوندگی همراه است. در مقاطع مختلف رفتار نرم‌شوندگی ماده با افزایش سیکل ثابت می‌گردد و در هر سه هندسه نرم‌شوندگی در قسمت فشاری بیشتر از کششی می‌باشد. همچنین پاسخ پوسته‌های جدار نازک SS316L با هر سه هندسه تحت بارگذاری خمش خالص تناوبی در شرایط جابجایی-کنترل به چهار ناحیه تقسیم می‌شود:

مرحله رشد اولیه<sup>۱</sup> (افزایش اولیه نیروی خمشی در سیکل‌های ابتدایی) مرحله گذر<sup>۲</sup> (کاهش نیروی خمشی از یک سیکل به سیکل دیگر)

مرحله پایدار<sup>۳</sup> (ثبات نیروی خمشی برای تعداد سیکل مشخص)

مرحله رشد ترک<sup>۴</sup> (کاهش شدید نیروی خمشی در سیکل‌های متوالی)

## 6- نتیجه‌گیری

با توجه به انجام آزمایش‌های تجربی جابجایی-کنترل و نیرو-کنترل روی پوسته‌های جدار نازک فولادی تحت بارگذاری خمش خالص تناوبی می‌توان نتایج زیر را استخراج نمود:

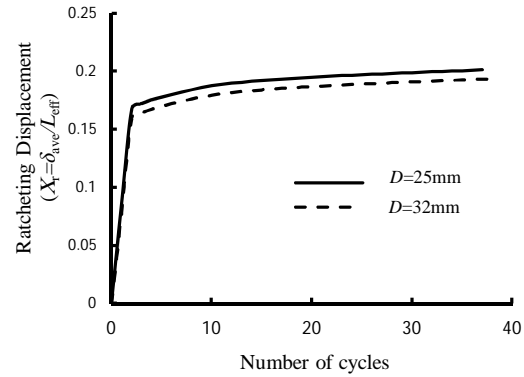
-۱ در شرایط جابجایی-کنترل تحت بارگذاری خمش خالص تناوبی، ابانتشتگی کرنش پلاستیک یا پدیده رچتینگ مشاهده می‌شود. با افزایش تعداد سیکل جابجایی رچتینگ افزایش و نرخ آن کاهش می‌باید. همچنین با دامنه نیرو یکسان برای یک طول معین پوسته استوانه‌ای، با افزایش نیروی میانگین در یک سیکل معین، جابه‌جایی رچتینگ و نرخ آن به دلیل افزایش گشتاور خمشی، افزایش می‌یابند و نقطه گذر در تعداد سیکل‌های کمتری اتفاق می‌افتد.

-۲ در بارگذاری خمش خالص تناوبی در شرایط نیرو-کنترل، با افزایش دامنه نیرو در نیروی میانگین ثابت، ابانتشتگی کرنش پلاستیک افزایش می‌باید که این به دلیل افزایش چگالی نابجایی-های پسماند باقی‌مانده در زیر ساختار ماده طی بارگذاری و باربرداری است.

-۳ به دلیل شکل‌گیری منظم نابجایی‌ها در پوسته‌های استوانه‌ای تحت بارگذاری خمش خالص تناوبی، نرخ جابجایی رچتینگ کاهش و به صفر میل می‌کند. همچنین با افزایش تعداد سیکل، انرژی پلاستیک بهشدت کاهش می‌باید و به مقدار ثابتی می‌رسد که نشان‌دهندهی پایداری حلقه‌های هیسترزیس است.

-۴ در بارگذاری نیرو-کنترل تحت بارگذاری خمش خالص تناوبی، رابطه خطی بین انرژی پلاستیک و نرخ جابجایی رچتینگ مشاهده شد که نشانگر صلیبت فیکسچرهای مورداستفاده است. همچنین با ایجاد گشودگی در میانه پوسته استوانه‌ای با شرایط بارگذاری یکسان، شبیه نمودار انرژی پلاستیک برحسب نرخ جابجایی رچتینگ افزایش می‌باید به عبارت دیگر به ازای افت نرخ معین جابجایی رچتینگ، کاهش در انرژی پلاستیک نمونه‌های دارای گشودگی بیشتر است.

-۵ در بارگذاری خمش خالص تناوبی تحت شرایط نیرو-کنترل و بارگذاری یکسان با ایجاد گشودگی، جابجایی رچتینگ افزایش

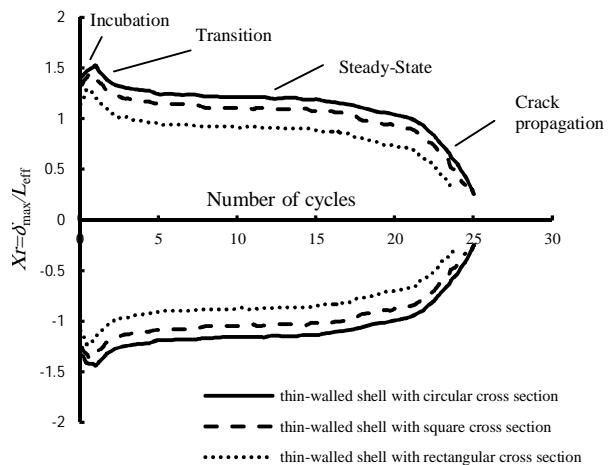


**شکل ۱۶** جابه‌جایی رچتینگ برحسب تعداد سیکل برای پوسته‌های استوانه‌ای با میانگین ۰.۳kN و دامنه نیرو ۱.۴kN با طول تحت خمش ۲۸۰mm و قطرهای ۲۵mm و ۳۲mm

از گشتاور خمشی می‌باشد. بنابراین ممان اینرسی سطح پارامتر مهمی در اینباشتگی کرنش پلاستیک پوسته‌ها تحت گشتاور خمشی تناوبی است.

## 5- بارگذاری جابه‌جایی-کنترل

برای بررسی سخت‌شوندگی/نرم‌شوندگی سیکلی ماده، نمونه‌ها تحت بارگذاری جابه‌جایی-کنترل قرار گرفته‌اند. در این قسمت سه هندسه پوسته‌ی استوانه‌ای و پوسته‌های با سطح مقطع مربعی  $2 \times 2$  و مستطیلی  $4 \times 2$  تحت دامنه جابه‌جایی ۲۰mm قرار گرفته‌اند. این نوع بارگذاری نیز همانند نیرو-کنترل شامل یک مرحله می‌باشد. در این تحقیق، نیروی منفی برای خمش رو به بالا (جهت نیرو به سمت پایین) در نظر گرفته شده است. با توجه به شکل ۱۷ مشاهده می‌شود که در هر سه هندسه جز در سیکل‌های اولیه، پس از هر سیکل، تحمل بار خمشی رو به بالا و بار خمشی رو به پایین در پوسته‌های سیکل، نشانگر صلیبت فیکسچرهای مورداستفاده است. همچنین در شرایط جابجایی-کنترل، جدار نازک کاهش می‌باید. یعنی پوسته‌ها تحت بارگذاری جابجایی-کنترل، رفتار نرم شوندگی از خود نشان می‌دهد و نرم‌شوندگی اولیه پوسته‌ی با سطح مقطع دایروی به ترتیب از پوسته‌ی با سطح مقطع مربعی و مستطیلی



**شکل ۱۷** تغییرات نیرو نسبت به تعداد سیکل برای بارگذاری جابه‌جایی کنترل برای هندسه‌های مختلف

<sup>1</sup> Incubation

<sup>2</sup> Transition

<sup>3</sup> Cyclic steady-state region

<sup>4</sup> Crack propagation region

- steady internal pressure, *International Journal of Plasticity*, Vol. 24, No. 10, pp. 1756-1791, 2008.
- [8] S. P. Vaze, E. Corona, Degradation and collapse of square tubes under cyclic bending, *Thin-Walled Structures*, Vol. 31, No. 4, pp. 325-341, 1998.
- [9] D. Moreton, K. Yahiaoui, D. Moffat, H. Machin, L. Amesbury, The behaviour of pressurised plain pipework subjected to simulated seismic loading, *Strain*, Vol. 30, No. 2, pp. 63-72, 1994.
- [10] B. Gao, X. Chen, G. Chen, Ratchetting and ratchetting boundary study of pressurized straight low carbon steel pipe under reversed bending, *International journal of pressure vessels and piping*, Vol. 83, No. 2, pp. 96-106, 2006.
- [11] X. Yang, Low cycle fatigue and cyclic stress ratcheting failure behavior of carbon steel 45 under uniaxial cyclic loading, *International Journal of Fatigue*, Vol. 27, No. 9, pp. 1124-1132, 2005.
- [12] X. Chen, R. Jiao, K. S. Kim, On the Ohno-Wang kinematic hardening rules for multiaxial ratcheting modeling of medium carbon steel *International Journal of Plasticity*, Vol. 21, No. 1, pp. 161-184, 2005.
- [13] G. Kang, Y. Liu, Z. Li, Experimental study on ratchetting-fatigue interaction of SS304 stainless steel in uniaxial cyclic stressing, *Materials Science and Engineering: A*, Vol. 435, pp. 396-404, 2006.
- [14] F. YOSHIDA, J. KONDO, Y. KIKUCHI, Viscoplastic behavior of SUS304 stainless steel under cyclic loading at room temperature, *JSME international journal. Ser. I, Solid mechanics, strength of materials*, Vol. 32, No. 1, pp. 136-141, 1989.
- [15] M. Shariati, H. Hatami, H. Yarahmadi, H. R. Eipakchi, An experimental study on the ratcheting and fatigue behavior of polyacetal under uniaxial cyclic loading, *Materials & Design*, Vol. 34, pp. 302-312, 2012.
- [16] J. Zhu, X. Chen, F. Xue, W. Yu, Bending ratcheting tests of Z2CND18.12 stainless steel, *International Journal of Fatigue*, Vol. 35, No. 1, pp. 16-22, 2012.
- [17] M. Shariati, H. Hatami, Experimental study of SS304L cylindrical shell with/without cutout under cyclic axial loading, *Theoretical and Applied Fracture Mechanics*, Vol. 58, No. 1, pp. 35-43, 2012.
- [18] M. Shariati, K. Kolasangian, G. Norouzi, A. Shahnavaz, Experimental study of SS316L cantilevered cylindrical shells under cyclic bending load, *Thin-Walled Structures*, Vol. 82, pp. 124-131, 2014.
- [19] S. Bari, T. Hassan, Anatomy of coupled constitutive models for ratcheting simulation, *International Journal of Plasticity*, Vol. 16, No. 3, pp. 381-409, 2000.
- [20] M. Rezaiee-Pajand, S. Sinaie, On the calibration of the Chaboche hardening model and a modified hardening rule for uniaxial ratcheting prediction, *International Journal of Solids and Structures*, Vol. 46, No. 16, pp. 3009-3017, 2009.
- [21] ASTM A370-05, *Standard test method and definitions for mechanical testing of steel products*.
- [22] G. Chen, X. Chen, C.-D. Niu, Uniaxial ratcheting behavior of 63Sn37Pb solder with loading histories and stress rates, *Materials Science and Engineering: A*, Vol. 421, No. 1, pp. 238-244, 2006.
- [23] K. Dutta, K. Ray, Ratcheting phenomenon and post-ratcheting tensile behaviour of an aluminum alloy, *Materials Science and Engineering: A*, Vol. 540, pp. 30-37, 2012.

می‌یابد و شکست نمونه نیز از همین نواحی اتفاق می‌افتد.

-6- در بارگذاری خمش خالص تناوبی تحت شرایط نیرو-کنترل و بارگذاری یکسان، با افزایش طول پوسته استوانه‌ای به دلیل افزایش گشتاور خمشی و تنش‌های عمودی، جابجایی رچتینگ و نرخ آن افزایش می‌یابد و نقطه گذر سریع تر اتفاق می‌افتد. همچنین با کاهش قطر پوسته استوانه‌ای و درنتیجه کاهش ممان اینرسی و افزایش تنش، انباشتگی کرنش پلاستیک افزایش می‌یابد.

-7- پوسته‌های جدار نازک با سطح مقطع دایروی، مربعی و مستطیلی تحت بارگذاری خمش خالص تناوبی در شرایط جابجایی کنترل، رفتار نرم شوندگی از خود نشان می‌دهند و در شرایط بارگذاری یکسان، پوسته جدار نازک با سطح مقطع دایروی دارای سرعت نرم شوندگی بیشتری در مقایسه با سطح مقطع مربعی و مستطیلی است. همچنین برای پوسته‌های جدار نازک با هر سه مقطع دایروی، مربعی و مستطیلی، چهار ناحیه رشد اولیه، گذر، پایدار و رشد ترک مشاهده شد.

## 7- مراجع

- [1] K.-H. Chang, W.-F. Pan, Buckling life estimation of circular tubes under cyclic bending, *International Journal of Solids and Structures*, Vol. 46, No. 2, pp. 254-270, 2009.
- [2] K.-H. Chang, W.-F. Pan, K.-L. Lee, Mean moment effect on circular thin-walled tubes under cyclic bending, *Structural Engineering and Mechanics*, Vol. 28, No. 5, pp. 495-514, 2008.
- [3] E. Corona, S. Kyriakides, An experimental investigation of the degradation and buckling of circular tubes under cyclic bending and external pressure, *Thin-Walled Structures*, Vol. 12, No. 3, pp. 229-263, 1991.
- [4] M. Elchalakani, Plastic mechanism analyses of circular tubular members under cyclic loading, *Thin-Walled Structures*, Vol. 45, No. 12, pp. 1044-1057, 2007.
- [5] M. Elchalakani, X.-L. Zhao, R. Grzebieta, Variable amplitude cyclic pure bending tests to determine fully ductile section slenderness limits for cold-formed CHS, *Engineering Structures*, Vol. 28, No. 9, pp. 1223-1235, 2006.
- [6] S. Kulkarni, Y. Desai, T. Kant, G. Reddy, P. Prasad, K. Vaze, C. Gupta, Uniaxial and biaxial ratchetting in piping materials—experiments and analysis, *International Journal of Pressure Vessels and Piping*, Vol. 81, No. 7, pp. 609-617, 2004.
- [7] S. M. Rahman, T. Hassan, D. E. Corona, Evaluation of cyclic plasticity models in ratcheting simulation of straight pipes under cyclic bending and